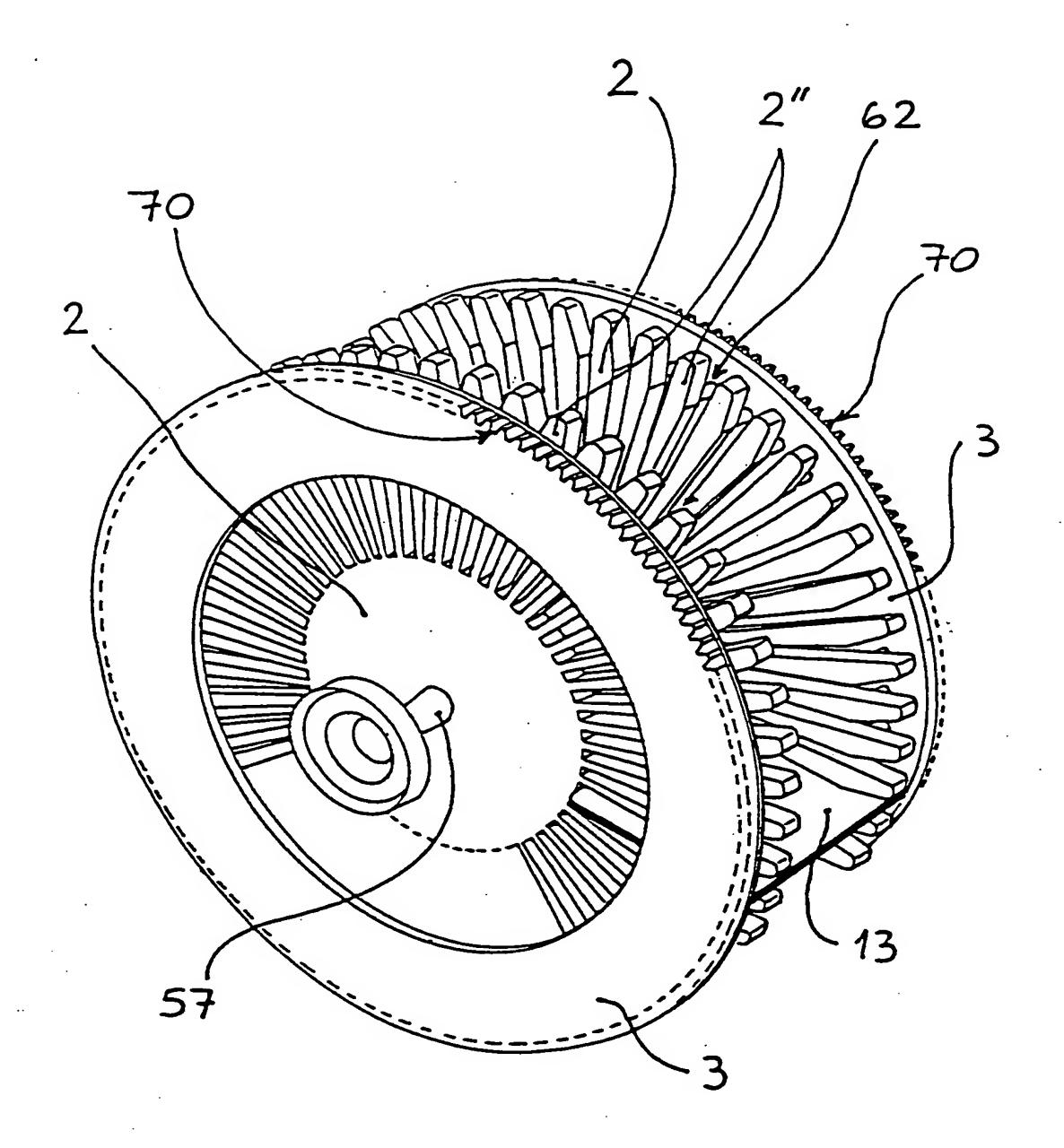


69



F19.6

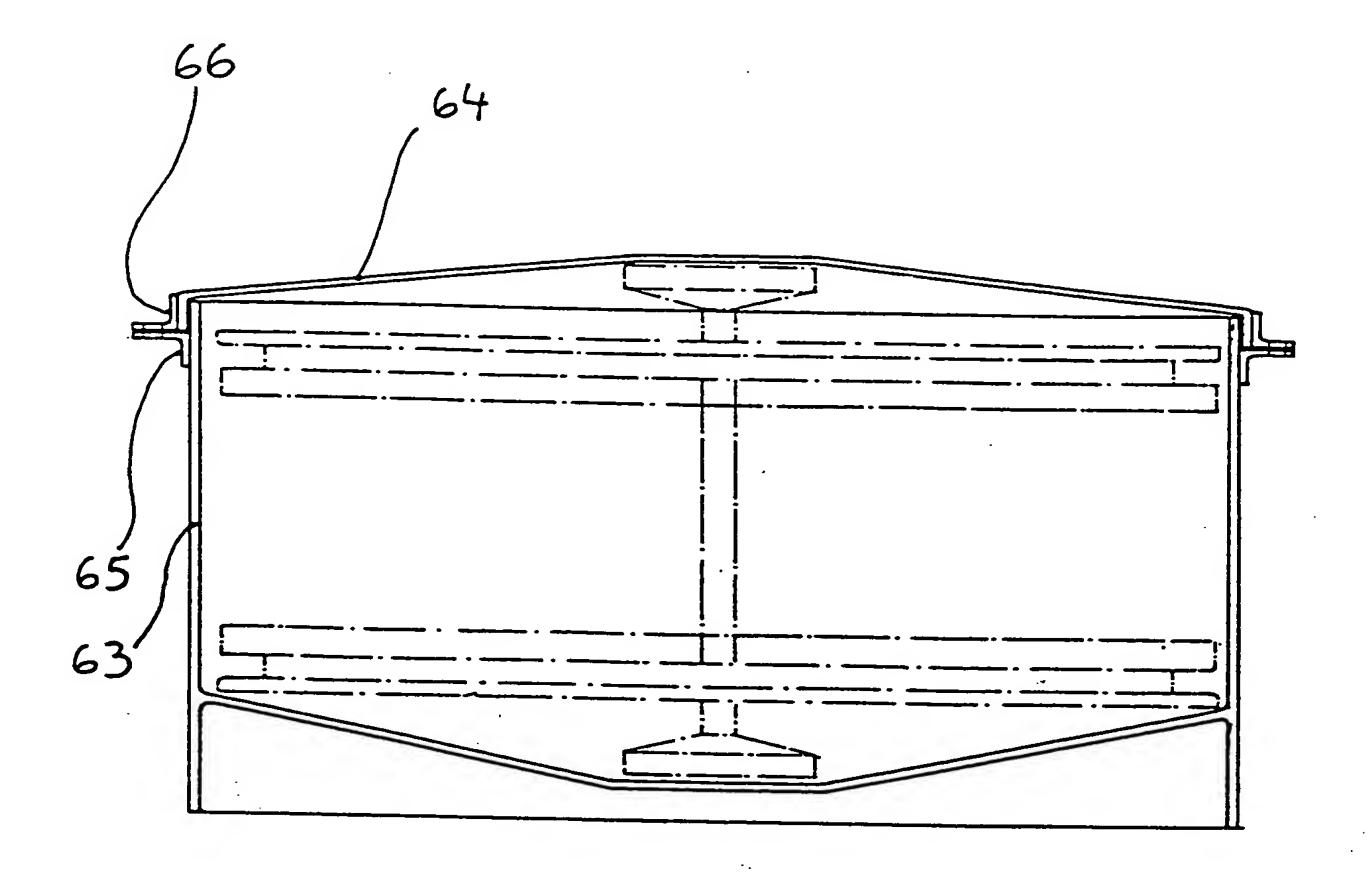


Fig. 7